





# طراحی، شبیه سازی و ساخت آنتن مایکرواستریپ با عملکرد فیلترینگی در باند WLAN

محمد فتحی

دانشکده فنی

گروه برق

۱۳۹۱

پایان نامه برای دریافت درجه کارشناسی ارشد

استاد راهنما: دکتر محمدنقی آذرمنش

تقدیم به

همهی اونایی که

دوستم دارند.

## چکیده

در سال ۲۰۰۲ رنج فرکانسی ۳/۱ تا ۱۰/۶ گیگاهرتز توسط FCC به سیستم‌های UWB اختصاص یافت. در ارتباطات باند وسیع، آنتن‌ها دارای سایز کوچک، سرعت انتقال دیتای بالا، پهنای باند وسیع، توان مصرفی کم و پتانسیل تشعشعی همه‌جهته (جهت‌دهی کم)، تاخیر گروهی ناچیز، بهره پایدار و پاسخ فاز خطی هستند که در رادار، ردیابی، شبکه‌های سنسور و دستگاه‌های تشخیص سرطان سینه کاربرد دارد. در میان آنتن‌های مسطح باند گسترده و چندبانده آنتن‌های تک قطبی به دلیل انعطاف‌پذیری بالای طراحی کاندید بسیار مناسبی برای سیستم‌های بی‌سیم محسوب می‌شوند. با استفاده از آنتن‌های تک قطبی می‌توان به دلخواه به پهنای باند گسترده و یا دو یا چند بانده دست یافت. در عین حال پتانسیل تشعشعی آنها مطلوب بوده و سبک، ارزان و به راحتی قابل ساخت می‌باشند. تا به امروز انواع مختلفی از آنتن‌های تک قطبی در فرم ساده و ترکیبی ارائه و طراحی شده و مطالعات بیشتر در این زمینه ادامه دارد.

در این پایان‌نامه پس از بررسی و مطالعه روش‌های گذشته برای بهبود عملکرد آنتن‌های تک قطبی، ابتدا آنتن جدید تک قطبی ساده با پچ بیضوی ارائه شده و به نحوی بهینه‌سازی شده‌است که بتواند باند فرکانسی UWB را پوشش دهد. در این ساختار با ایجاد تغذیه trident-shape می‌توان پهنای باند آنتن را افزایش داد. در ادامه برای حذف باند متداخل از باند فرکانسی اصلی، دو شکاف بیضوی شکل با زاویه متغیر در ساختار آنتن ایجاد شده است. آنتن پیشنهادی روی زیرلایه FR<sup>4</sup> با ابعاد  $21*21*1\text{ mm}^3$  قرار گرفته و به نحوی بهینه‌سازی شده که بتواند پهنای باند از  $2/8$  تا  $15.5$  گیگاهرتز را پوشش داده و باند متداخل از  $5/8$  تا  $5/1$  گیگاهرتز را حذف کند.

## فهرست مطالب

|                                                                     |    |
|---------------------------------------------------------------------|----|
| فصل اول : مروری مختصر بر مخابرات بی سیم و پروتکل های آن.            | ۱  |
| ۱-۱ مقدمه                                                           | ۲  |
| ۲-۱ انواع شبکه های بی سیم و تکنولوژی استفاده شده در این شبکه ها [۲] | ۲  |
| ۲-۱-۱ معرفی تکنولوژی UWB                                            | ۴  |
| ۲-۱-۲ معرفی WLAN                                                    | ۸  |
| ۲-۱-۳ معرفی WiMAX                                                   | ۹  |
| فصل دوم : تئوری آنتن های فرا پهن باند                               | ۱۲ |
| ۱-۲ مقدمه                                                           | ۱۳ |
| ۲-۲ آنتن های میکرواستریپ                                            | ۱۵ |
| ۲-۲-۱ آنتن های دوقطبی میکرواستریپ                                   | ۱۷ |
| ۲-۲-۲ آنتن های شکافدار میکرواستریپ                                  | ۱۷ |
| ۲-۲-۳ آنتن های موج رونده                                            | ۲۱ |
| فصل سوم: تکنیک های طراحی آنتن های فرا پهن باند                      | ۲۳ |
| ۱-۳ مقدمه                                                           | ۲۴ |
| ۲-۳ استفاده از دو یا سه تغذیه در ساختار تغذیه                       | ۲۴ |
| ۳-۳ استفاده از ساختار تیپری و پلکانی در پچ یا زمین                  | ۲۸ |
| ۴-۳ استفاده از ساختار یکسان در پچ و شکاف                            | ۳۲ |
| ۶-۳ استفاده از المان های پارازیتیک                                  | ۳۳ |
| ۷-۳ استفاده از ساختارهای تکرار شونده (فراكتالی)                     | ۳۵ |
| ۸-۳ استفاده از تغذیه غیرمتقارن                                      | ۳۶ |
| فصل چهارم: ایجاد عملکرد فیلترینگی در آنتن های میکرواستریپ           | ۴۰ |
| ۱-۴ مقدمه                                                           | ۴۱ |
| ۲-۴ انواع آنتن های تک قطبی چاپی با یک باند فرکانسی فیلتر شده        | ۴۳ |

|    |                                                           |
|----|-----------------------------------------------------------|
| ۴۳ | ۱-۲-۴ استفاده از المان پارازیتیک .....                    |
| ۴۷ | ۴-۲-۴ استفاده از شکاف‌های رباعی و یا نیم طول موج .....    |
| ۴۹ | ۴-۳-۲-۴ استفاده از شکاف و پچ با اشکال مشابه .....         |
| ۵۲ | ۴-۴-۲-۴ استفاده از رزوناتورهای حلقه-باز و حلقه-بسته ..... |
| ۵۴ | ۴-۵-۲-۴ استفاده از زمین .....                             |
| ۵۵ | فصل پنجم: معرفی آنتن پیشنهادی .....                       |
| ۵۶ | ۱-۵ مقدمه .....                                           |
| ۵۶ | ۲-۵ ساختار آنتن پیشنهادی .....                            |
| ۵۸ | ۱-۲-۵: بررسی پچ تشعشعی .....                              |
| ۶۱ | ۲-۲-۵ بررسی زمین آنتن .....                               |
| ۶۳ | ۳-۵ ساخت و تست آنتن .....                                 |
| ۶۹ | ۴-۵ پیشنهادات .....                                       |
| ۷۳ | Abstract .....                                            |
| ۷۰ | References .....                                          |

## فهرست اشکال

|    |                                                                                                                         |
|----|-------------------------------------------------------------------------------------------------------------------------|
| ۴  | شکل ۱-۱ دسته بندي فناوريهای بيسيم .....                                                                                 |
| ۶  | شکل ۱-۲ نمايش پدideh چند مسire .....                                                                                    |
| ۷  | شکل ۱-۳ عدم تطابق فاز دو سيگنال ناشي از مسireهاي مختلف .....                                                            |
| ۷  | شکل ۱-۴ اثر محو شدگi بر روی سيگنال کاربر ناشي از چندمسيرگi .....                                                        |
| ۸  | شکل ۱-۵ توپولوژi نقطه به نقطه .....                                                                                     |
| ۱۷ | شکل ۱-۶ تغذيه در آنتهای ميكرواستريپ (a) با كابل هم محور (b) با خط ميكرواستريپ (c) تغذيه مجاورتی (d) تغذيه دريچهای ..... |
| ۱۸ | شکل ۲-۲ الف) آنتن دوقطبی مكمل شکافدار (b) آنتن شکافدار بریده شده برروی صفحه فلزی .....                                  |

|                                                                                                                           |                                                                                                                |
|---------------------------------------------------------------------------------------------------------------------------|----------------------------------------------------------------------------------------------------------------|
| شکل ۳-۲ تغذیه شکافدار به وسیله کابل کواکسیال الف) شکاف با تغذیه از مرکز ب) شکاف با تغذیه خارج از مرکز                     | ج) تغذیه شکاف خارج از مرکز برای ایجاد پلاریزاسیون عمودی د) تغذیه شکاف خارج از مرکز برای ایجاد پلاریزاسیون افقی |
| ۱۹                                                                                                                        | .....                                                                                                          |
| شکل ۴-۲ الف) قراردادن یک محفظه در پشت شکاف ب) اندازه مناسب برای عمق محفظه                                                 | .....                                                                                                          |
| ۲۰                                                                                                                        | .....                                                                                                          |
| شکل ۵-۲ شکاف تغذیه شده به وسیله موجبر که مد را تحریک میکند                                                                | .....                                                                                                          |
| ۲۰                                                                                                                        | .....                                                                                                          |
| شکل ۶-۲ پرتو تشعشعی از یک روزنه دایروی، نمودار سه بعدی و نمودار دو بعدی                                                   | .....                                                                                                          |
| ۲۱                                                                                                                        | .....                                                                                                          |
| شکل ۷-۲ ساختار آتن سیمی دراز به عنوان یک نمونه از آنتهای موج رونده                                                        | .....                                                                                                          |
| ۲۲                                                                                                                        | .....                                                                                                          |
| شکل ۱-۳ (a) آتن میکرواستریپ با تغذیه چنگالی (b) آتن با تغذیه ساده                                                         | .....                                                                                                          |
| ۲۴                                                                                                                        | .....                                                                                                          |
| شکل ۲-۳ نمودار اسمیت آنتهای معرفی شده در جدول ۱-۳ به ترتیب شماره                                                          | .....                                                                                                          |
| ۲۵                                                                                                                        | .....                                                                                                          |
| شکل ۳-۳ توزیع جریان در پچ تشعشعی در ساختار تغذیه (a) ساده یا تکی (b) دو گانه (c) سه گانه (d) سه گانه با برش کنارهای پائین | .....                                                                                                          |
| ۲۶                                                                                                                        | .....                                                                                                          |
| شکل ۴-۳ افت برگشتی آتن شکل ۳-۳                                                                                            | .....                                                                                                          |
| ۲۷                                                                                                                        | .....                                                                                                          |
| شکل ۵-۳ پترن تشعشعی آتن شکل ۳-۳ خطوط ممتد پترن صفحه H و خطوط منفصل پترن صفحه E (الف) (b) ۶/۵                              | .....                                                                                                          |
| ۲۷                                                                                                                        | .....                                                                                                          |
| شکل ۶-۳ برشهای متوالی جهت تطبیق بیشتر پهنهای باند                                                                         | .....                                                                                                          |
| ۲۸                                                                                                                        | .....                                                                                                          |
| شکل ۷-۳ جریانهای جاری بر پچ در حالتی بدون برش و با برش                                                                    | .....                                                                                                          |
| ۲۸                                                                                                                        | .....                                                                                                          |
| شکل ۸-۳ آتن مرجع [۱۴] به همراه افت برگشتی                                                                                 | .....                                                                                                          |
| ۲۹                                                                                                                        | .....                                                                                                          |
| شکل ۹-۳ مراحل تشکیل پچ تشعشعی و پاسخ برگشتی                                                                               | .....                                                                                                          |
| ۳۰                                                                                                                        | .....                                                                                                          |
| شکل ۱۰-۳ (الف) تغییرات در ساختار زمین (ب) منحنیهای افت برگشتی                                                             | .....                                                                                                          |
| ۳۰                                                                                                                        | .....                                                                                                          |
| شکل ۱۱-۳ آتن مرجع [۱۵] با زمین تپری و پچ بیضوی                                                                            | .....                                                                                                          |
| ۳۱                                                                                                                        | .....                                                                                                          |
| شکل ۱۲-۳ (الف) افت برگشتی (ب) بهره آتن                                                                                    | .....                                                                                                          |
| ۳۱                                                                                                                        | .....                                                                                                          |
| شکل ۱۳-۳ (الف) آتن مرجع [۱۶] (ب) افت برگشتی                                                                               | .....                                                                                                          |
| ۳۲                                                                                                                        | .....                                                                                                          |
| شکل ۱۴-۳ (الف) آتن مرجع [۱۷] (ب) افت برگشتی (ج) پترن تشعشعی در فرکانس ۳ گیگاهرتز                                          | .....                                                                                                          |
| (plane                                                                                                                    | .....                                                                                                          |
| ۳۳                                                                                                                        | .....                                                                                                          |
| شکل ۱۵-۳ استفاده از via جهت افزایش پهنهای باند و نیز عملکرد فیلترینگی                                                     | .....                                                                                                          |
| ۳۴                                                                                                                        | .....                                                                                                          |
| شکل ۱۶-۳ جریان سطحی آتن در فرکانس (الف) ۷ گیگاهرتز (ب) ۱۱ گیگاهرتز (ج) VSWR به ازای مقادیر مختلف Wg                       | .....                                                                                                          |
| ۳۵                                                                                                                        | .....                                                                                                          |
| شکل ۱۷-۳ آنتهای فراكتالی (الف) آتن مرجع [۲۰] (ب) آتن مرجع [۲۱] (ج) آتن مرجع [۲۲]                                          | .....                                                                                                          |
| ۳۶                                                                                                                        | .....                                                                                                          |
| شکل ۱۸-۳ (الف) تصویر آتن مرجع [۲۳] (ب) پاسخ فرکانسی                                                                       | .....                                                                                                          |
| ۳۷                                                                                                                        | .....                                                                                                          |
| شکل ۱۹-۳ آتن مرجع [۲۴] نمای کناری ، نمای پشتی ، نمای جلویی                                                                | .....                                                                                                          |
| ۳۷                                                                                                                        | .....                                                                                                          |
| شکل ۲۰-۳ جریان سطحی در آتن مرجع [۲۴]                                                                                      | .....                                                                                                          |
| ۳۸                                                                                                                        | .....                                                                                                          |

|                                                                                                                   |    |
|-------------------------------------------------------------------------------------------------------------------|----|
| شکل ۱-۴ ساختار کلی آنتن پهنه باند فیلترینگی دو باندی برای حالات الف) آنتن پهنه باند متصل به مدولهای فیلترینگی، ب) |    |
| آنتن پهنه باندی که بخشهای فیلترینگی را در داخل ساختار خود دارد.....                                               | ۴۲ |
| شکل ۲-۴ آنتن به ازای مقادیر مختلف $g$ .....                                                                       | ۴۴ |
| شکل ۳-۴ آنتن به ازای مقادیر مختلف $Lh$ .....                                                                      | ۴۵ |
| شکل ۴-۴ جریان سطحی آنتن در فرکانس‌های (a) ۴GHz (b) ۵GHz (c) ۸GHz.....                                             | ۴۵ |
| شکل ۵-۴ آنتن پیشنهادی UWB (الف) بدون ساختار فیلتر، (ب) به همراه ساختار فیلتر.....                                 | ۴۶ |
| شکل ۶-۴ نمودار تلفات بازگشتی برای آنتن پیشنهادی UWB با و بدون المان پارازیتیک.....                                | ۴۶ |
| شکل ۷-۴ نمودار تلفات بازگشتی برای آنتن پیشنهادی UWB برای مقادیر مختلف زاویه $M$ .....                             | ۴۷ |
| شکل ۸-۴ آنتن با عملکرد فیلترینگی در باند WLAN.....                                                                | ۴۸ |
| شکل ۹-۴ پاسخ فرکانسی آنتن به ازای (الف) تغییر عرض شکاف (ب) تغییر طول شکاف.....                                    | ۴۸ |
| شکل ۱۰-۴ (الف) آنتن مرجع [۲۹] (ب) پاسخ فرکانسی آن.....                                                            | ۴۹ |
| شکل ۱۱-۴ آنتن برای عملکرد فیلترینگی سه بانده.....                                                                 | ۴۹ |
| شکل ۱۲-۴ نمودار VSWR آنتن شکل ۱۱-۴.....                                                                           | ۵۰ |
| شکل ۱۳-۴ ساختار آنتن تکقطبی حلقوی با شکاف حلقوی.....                                                              | ۵۱ |
| شکل ۱۴-۴ تغییرات نمودار VSWR آنتن شکل ۱-۳ با زاویه بارشدگی $\alpha$ ( $mm\ 5/2 = s$ ).....                        | ۵۱ |
| شکل ۱۵-۴ تغییرات نمودار VSWR آنتن شکل ۱۳-۴ با عرض شکاف حلقوی ( $deg\ 20.5 = \alpha$ ).....                        | ۵۲ |
| شکل ۱۶-۴ (a) هندسه آنتن پیشنهادی برای فیلتر کردن باند WLAN (b) ساختار رزناتور.....                                | ۵۲ |
| شکل ۱۷-۴ استفاده از via پیچ اتصال رزناتورها به پیچ.....                                                           | ۵۳ |
| شکل ۱۸-۴ جریانهای جاری در آنتن در فرکانس های (a) ۳/۶ (b) ۵/۵ گیگاهرتز.....                                        | ۵۳ |
| شکل ۱۹-۴ نسبت موج ساکن در آنتن شکل ۱۷-۴.....                                                                      | ۵۳ |
| شکل ۲۰-۴ ساختار آنتن پیشنهادی مرجع [۳۴].....                                                                      | ۵۴ |
| شکل ۲۱-۴ (a) افت برگشتی (b) بهره آنتن.....                                                                        | ۵۴ |
| شکل ۱-۵ ساختار طراحی شده در این پایاننامه.....                                                                    | ۵۷ |
| شکل ۲-۵ نسبت موج ساکن در آنتن.....                                                                                | ۵۷ |
| شکل ۳-۵ ساختار پیچ به همراه ابعاد.....                                                                            | ۵۸ |
| شکل ۴-۵ نسبت موج ساکن در آنتن با دو ساختار تعذیه.....                                                             | ۵۹ |
| شکل ۵-۵ جریانهای جاری بر سطح پیچ در فرکانس‌های (الف) و (ب) ۴ گیگاهرتز (ج) و (د) ۸ گیگاهرتز.....                   | ۵۹ |
| شکل ۶-۵ جریانهای جاری بر سطح پیچ در فرکانس‌های (الف) ۳/۵ (ب) ۵/۵ (ج) ۹/۵ گیگاهرتز.....                            | ۶۱ |
| شکل ۷-۵ آنتن با زمین ساده.....                                                                                    | ۶۲ |
| شکل ۸-۵ بررسی افزایش طول زمین بر رفتار امپدانسی آنتن.....                                                         | ۶۲ |

|                                                                                                                  |    |
|------------------------------------------------------------------------------------------------------------------|----|
| ..... شکل ۹-۵ ساختار نهایی زمین-قسمتهای رنگی از زمین برش داده شده‌اند.                                           | ۶۳ |
| ..... شکل ۱۰-۵ (الف) افت برگشتی محاسبه شده توسط تحلیلگر شبکه (ب) مقایسه منحنیهای شبیه‌سازی شده و اندازه‌گیری شده | ۶۳ |
| ..... شکل ۱۱-۵ پترن صفحه H در فرکانس (الف) ۵ گیگاهرتز (ب) ۸ گیگاهرتز                                             | ۶۴ |
| ..... شکل ۱۲-۵ پلاریزاسیون آنتن در جهات X و Y                                                                    | ۶۴ |
| ..... شکل ۱۳-۵ تاخیر گروه آنتن پیشنهادی                                                                          | ۶۵ |
| ..... شکل ۱۴-۵ بهره اندازه‌گیری و شبیه‌سازی شده آنتن                                                             | ۶۶ |
| ..... شکل ۱۵-۵ مدار معادل آنتن میکرواستریپی با عملکرد فیلترینگی                                                  | ۶۶ |
| ..... شکل ۱۶-۵ ساختار اولیه آنتن و چارت اسمیت آنتن                                                               | ۶۷ |
| ..... شکل ۱۷-۵ آنتن با تغذیه سه شاخکی و چارت اسمیت آنتن                                                          | ۶۷ |
| ..... شکل ۱۸-۵ ساختار آنتن با شکاف مستطیلی در زمین و چارت اسمیت آنتن                                             | ۶۸ |
| ..... شکل ۱۹-۵ نحوه قرار گرفتن پروب‌های مجازی جهت مانیتورینگ سیگنانلهای ساعه از آنتن                             | ۶۸ |
| ..... شکل ۲۰-۵ سیگنال پروب‌های مجازی اطراف آنتن با زوایای صفر، ۴۵ و ۶۰                                           | ۶۹ |

## فهرست جداول

|                                                                            |    |
|----------------------------------------------------------------------------|----|
| جدول ۱—۱ محدودیت توان انتشاری در بازه‌های مختلف توسط FCC                   | ۴  |
| جدول ۱—۲ مقایسه سرعت و ظرفیت کانال در سیستم‌های بی‌سیم داخلی               | ۸  |
| جدول ۲—۱ مشخصات آنتن‌های UWB                                               | ۱۴ |
| جدول ۳—۱ مقایسه طول چنگال‌های تغذیه آنتن‌های پیشنهادی به همراه پهناهی باند | ۲۵ |

# فصل اول

## ۱-۱ مقدمه

دنیای امروز شاهد تکامل گسترده در ارتباطات می‌باشد. نیاز به ارتباطات از راه دور نیازی غیر قابل انکار در تمامی جوامع بشری بوده به طوریکه امروزه در هر کشوری اهمیت استراتژیک ارتباط از راه دور در کاهش انکار ناپذیر هزینه‌هایی از قبیل حمل و نقل، سیستم‌های ارتباطی پولی و بانکی، پست و ...، که مردم در زندگی روزمره با آنها دست و پنجه نرم می‌کنند، بیش از پیش مورد توجه قرار گرفته است. با گسترش فناوری‌های مخابراتی و پیشرفتهای حاصل در طراحی ادوات مخابراتی راه برای زندگی بهتر و با کیفیت بالاتر فراختر شده است. تامین امنیت ملی و پاسداری از کشور در برابر تهاجم‌های خارجی و جلوگیری از ماجراجویی‌های متخاصمان در سایه بهره‌برداری از تکنولوژی‌های پیشرفته مخابراتی نظیر سیستم‌های ردیابی بر پایه رادار و سیستم‌های موشکی هدایت شونده از راه دور قابل دستیابی می‌باشد.

یکی از عناصر پایه‌ای در هر سیستم فرستنده و گیرنده آتنن می‌باشد. شاید بتوان اولین نمونه انتشار بی‌سیم امواج الکترومغناطیسی به وسیله آتنن را در کار گیگلیلمو مارکنی<sup>۱</sup> ایتالیایی در سال ۱۸۹۵ جستجو کرد. وی با این روش موفق به انتشار امواج رادیویی به فاصله ۱ مایل شد. سپس وی موفق شد با استفاده از منعکس کننده‌های سهموی این فاصله انتقال را به ۴ مایل افزایش دهد [۱].

امروزه نیاز به آتنن‌های فشرده و با پهنای باند بالا بیش از گذشته در حال افزایش است. علت این امر را می‌توان در افزایش تقاضا برای ادوات مخابراتی قابل حمل نظیر تلفن همراه، لپ تاپ، سیستم‌های RFID و ... دنبال کرد. امروزه طراحی آتنن‌های فشرده و کارآمد برای کاربردهای این چنینی یکی از حوزه‌های فعال در دامنه فعالیت‌های مهندسان طراح آتنن می‌باشد. آتنن‌های مایکرواستریپ در ابتدا پاسخگوی این امر بوده‌اند. خانواده این آتنن‌ها به دلیل ساختار فشرده و قابل نصب در بسیاری از سیستم‌های فشرده مخابراتی علاقمندی‌های زیادی را به سوی خود منعطف کرده‌اند.

## ۲-۱ انواع شبکه‌های بی‌سیم و تکنولوژی استفاده شده در این شبکه‌ها [۲]

فناوری بی‌سیم بر اساس حوزه و نوع کاربرد آن به فناوری‌های تخصصی‌تر تقسیم می‌گردد، که هریک مشخصات و ویژگی‌های منحصر به فردی دارند و دارای استانداردهای جهانی و تحت نظارت سازمان‌های معتر استاندارد سازی فناوری‌ها نظیر

<sup>۱</sup> Guglielmo Marconi

IEEE و ITU می‌باشند و هر کدام نیاز یکی از شبکه‌های بی‌سیم موجود را برآورده می‌سازند. این شبکه‌ها به ترتیب زیر هستند.

۱. **WLAN<sup>۲</sup>** : شبکه‌های فوق، امکان دستیابی کاربران ساکن در یک منطقه محدود نظیر محوطه یک دانشگاه و یا کتابخانه را به شبکه و یا اینترنت، فراهم می‌نماید.

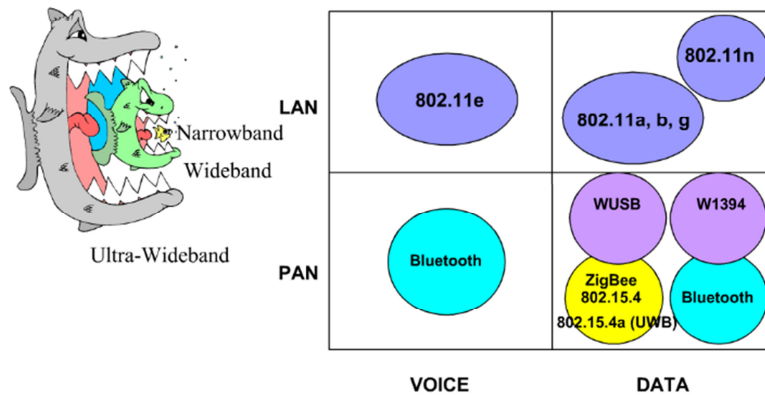
۲. **WPAN<sup>۳</sup>** : در شبکه‌های فوق، امکان ارتباط بین دستگاه‌های شخصی، نظیر لپ‌تاپ در یک ناحیه محدود، حدود ۹۱۴ سانتی‌متر فراهم می‌گردد.

۳. **WMAN<sup>۴</sup>** : در شبکه‌های فوق، امکان ارتباط بین چندین شبکه موجود در یک شهر بزرگ فراهم می‌گردد. از شبکه‌های فوق، اغلب به عنوان شبکه‌های پشتیبان کابلی (مس، فیبر نوری) استفاده می‌گردد.

۴. **WWAN<sup>۵</sup>** : در شبکه‌های فوق، امکان ارتباط بین شهرها و یا حتی کشورها و از طریق سیستم‌های ماهواره‌ای متفاوت، فراهم می‌گردد. شبکه‌های فوق به سیستم‌های G2 (نسل دوم) معروف شده‌اند.

در بالا ذکر شد که هر یک از شبکه‌های بی‌سیم مذکور نیاز به تکنولوژی‌ها و استانداردهای متفاوتی دارند که زیرمجموعهٔ فناوری بی‌سیم بوده و به ترتیب در شکل ۱-۱ دسته‌بندی شده‌اند.

## General Positioning Wireless LAN/PAN



۲ Wireless local area network

۳

۴ Wireless Personal Area Networks

۵

۶ Wireless Metropolitan Area Networks

۷

۸ Wireless Wide Area Networks

۹

## شکل ۱-۱ دسته‌بندی فناوری‌های بی‌سیم

### ۱-۲-۱ معرفی تکنولوژی UWB

تکنولوژی UWB<sup>۶</sup> بعنوان یک تکنولوژی بی‌سیم نو ظهرور، برای کاربرد در مخابرات کوتاه‌برد<sup>۷</sup>، انتقال سریع‌تر داده در وسائل قابل حمل و سیستم‌های راداری توسط کمیته مخابرات فدرال<sup>۸</sup> آمریکا در سال ۲۰۰۲ تصویب شد<sup>[۳]</sup>. پهنانی باند تحصیص داده شده ۱۵۰۰ برابر پهنانی باند UMTS<sup>۹</sup> بوده و این پهنانی باند گسترده، UWB را قادر به ارسال داده با سرعت‌هایی در مقیاس Mbps می‌سازد.

پهنانی باند UWB برابر  $\frac{7}{5}$  GHz بوده که با توان بسیار پایینی ( $-101/\frac{3}{3} \text{dbm/MHz} = -41/\frac{3}{3} \text{dBm/Hz}$ ) در بازه فرکانسی  $\frac{3}{1}$  تا  $\frac{10}{6}$  گیگاهرتز اجازه انتشار دارد. بعلت چگالی انرژی سیگنال‌های UWB به سیگنال‌های شبه‌نویز<sup>۹</sup> معروف هستند. اگرچه این امر آشکارسازی این سیگنال‌ها را تا حدودی دشوار ساخته است، ولی انتقال داده توسط سیستم‌های UWB تداخل زیادی با دیگر سیستم‌های رادیویی (بعلت پایین بودن چگالی طیفی توان UWB در مقایسه با سیستم‌های باند باریک) ندارد. جدول ۱-۱ محدودیت توان انتشاری بازه‌های مختلف انتشاری توسط FCC را نشان می‌دهد.

جدول ۱-۱ محدودیت توان انتشاری در بازه‌های مختلف توسط FCC

| Frequency in MHz | Indoor      | Outdoor     |
|------------------|-------------|-------------|
|                  | EIRP in dBm | EIRP in dBm |
| ۹۶۰ - ۱۶۱۰       | -۷۵/۳       | -۷۵/۳       |
| ۱۶۱۰ - ۱۹۹۰      | -۵۳/۳       | -۶۳/۳       |
| ۱۹۹۰ - ۳۱۰۰      | -۵۱/۳       | -۶۱/۳       |
| ۳۱۰۰ - ۱۰۶۰۰     | -۴۱/۳       | -۴۱/۳       |
| ۱۰۶۰۰ - ...      | -۵۱/۳       | -۶۱/۳       |

<sup>۶</sup> Short-range communication

<sup>۷</sup> Federal Communication Commission

<sup>۸</sup> Universal mobile telecommunication system

<sup>۹</sup> Noise like

از جمله مزایای سیستم‌های UWB می‌توان به موارد زیر اشاره کرد:

☞ پیچیدگی و هزینه کمتر در مقایسه با دیگر تکنولوژی‌ها

برخلاف سیستم‌های رادیویی مرسوم، بعلت آنکه فرستنده UWB از قطار پالس با دوره‌های اندک استفاده می‌کند، این مسئله باعث بی‌نیازی از ظرف‌های مخلوط‌سازی<sup>۱۰</sup> معمول (که برای سیستم‌های RF استفاده می‌شود) می‌گردد. در واقع این ظرف‌های مخلوط‌ساز فرکانس باند پایه را به فرکانس سیگنال حامل تزریق کرده یا سیگنال را به فرکانسی که قابلیت انتشار مطلوب را داشته باشد تبدیل می‌کنند (که بر اساس تعداد طبقات مخلوط‌سازی به سیستم‌های هتروداین یا سوپرهتروداین معروف هستند). طبیعت فرآین باند سیگنال‌های UWB بدان معنی است که فرکانس‌های معمول بعنوان فرکانس‌های حامل بکار برد می‌شوند. بنابراین سیگنال بدون نیاز به تغییر یا تقویت انتشار می‌یابد. به همین ترتیب گیرنده‌های UWB نیز نیازی به تغییر یا تبدیل سیگنال ندارند به عبارتی در گیرنده نیازی به نوسان ساز محلی<sup>۱۱</sup> و حلقه‌های دنبال کننده<sup>۱۲</sup> فاز نداریم.

☞ پنهان در نویز شدن که امکان جیمینگ<sup>۱۳</sup> (تدخّل) را بسیار کم می‌کند.

بخاطر چگالی کم انرژی، سیگنال‌های UWB مثل نویز می‌باشند. بنابراین برای دستگاه‌های برنامه‌ریزی نشده، غیرقابل شناسایی است، از طرفی سیگنال‌های شبه نویز اندازه ویژه و خاصی دارا هستند. در واقع سیگنال‌های نویز شکل خاصی ندارند. برای مثال توان یک وات که در بازه طیف فرکانسی یک گیگا هرتز انتشار می‌یابد، تنها به مصرف یک نانو وات از توان برای هر هرتز از فرکانس منجر می‌شود، بنابراین سیگنال‌های UWB با سیستم‌های بی‌سیم دیگر تداخل قوی ندارند. چون سیستم‌های UWB در توان‌های انتقالی خیلی پایین هم کار می‌کنند.

☞ محافظت در مقابل پدیده چند مسیره<sup>۱۴</sup>

<sup>۱۰</sup> mixing

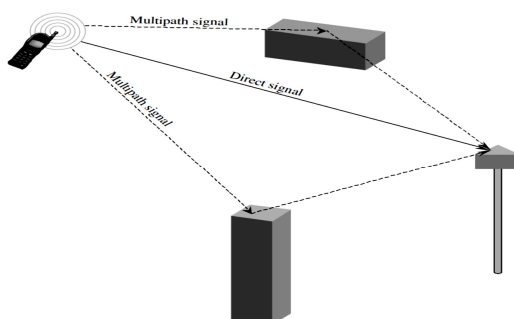
<sup>۱۱</sup> Local oscillator

<sup>۱۲</sup> Phase tracking loops

<sup>۱۳</sup> jamming

<sup>۱۴</sup> multipath

نحوه انتشار رادیویی پیچیده بوده و همراه با پدیده‌های تضعیف، انعکاس، پراش، پراکنده‌گی و... است که این پدیده‌ها یا بعلت وجود فاصله بین فرستنده و گیرنده و یا بعلت وجود ناهمواری‌ها و موانع موجود در مسیر انتشار پدید می‌آیند و سبب بوجود آمدن محو شوندگی می‌شوند. باید توجه داشت که محوشدگی چندمسیره<sup>۱۵</sup> و گستردگی تأخیر<sup>۱۶</sup> به شدت در کاهش ظرفیت یک سیستم بسیار موثر می‌باشند. سیستم‌های UWB اغلب برخیان سیستم‌های مصنون از چندمسیرگی<sup>۱۷</sup> یا مقاوم در برابر چندمسیرگی<sup>۱۸</sup> طبقه‌بندی می‌شوند. این مصنونیت بدان دلیل است که اگر پالس‌های رسیده دارای عرض‌های مشترکی باشند (هم پوشانی اتفاق افتاده باشد)، یعنی تداخل در سیگنال اتفاق افتاده است. در حالی که اگر پالس‌های رسیده دارای عرض‌های جدا باشند، پس تداخلی نداریم. در این حالت می‌توان از یک فیلتر حوزه زمان براحتی جهت آشکارسازی استفاده کرد. برای درک مسئله هم‌پوشانی یک آنتن همه‌جهته موبایل را در نظر می‌گیریم. در واقع سیگنال تولید شده بوسیله آنتن موبایل یک طبیعت همه‌جهته را دارد. این امر باعث می‌شود که سیگنال بوسیله سازه‌هایی چون ساختمان منعکس شود و نهایتاً از چندین مسیر سیگنال‌های ساعت شده از آنتن تلفن همراه به ایستگاه پایه برسد (شکل ۲-۱). این شرایط به چند مسیرگی معروف است. متاسفانه سیگنال‌های رسیده به ایستگاه پایه در حالت کلی دارای فاز یکسانی نیستند و چه بسا اختلاف فاز آنها به ۱۸۰ درجه برسد. که این امر از بین رفتن سیگنال را در پی دارد. شکل ۳-۱ یکسان نبودن دو سیگنال منعکس شده و مستقیم را نشان می‌دهد.



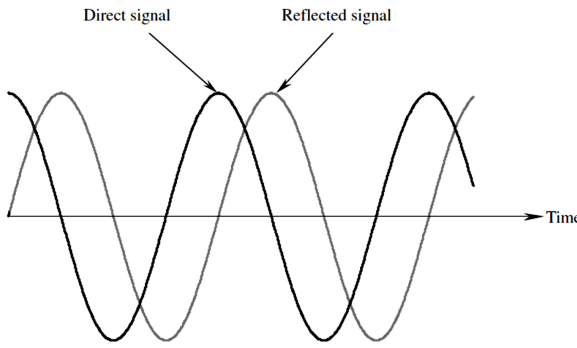
شکل ۲-۱ نمایش پدیده چند مسیره

<sup>۱۵</sup> multipath fading

<sup>۱۶</sup> delay spread

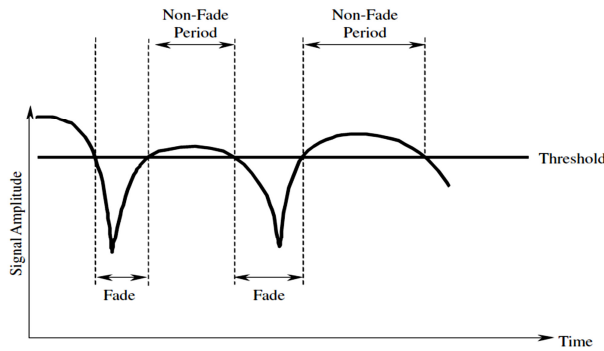
<sup>۱۷</sup> Multipath immune

<sup>۱۸</sup> Multipath resistant



شکل ۱-۳ عدم تطابق فاز دو سیگنال ناشی از مسیرهای مختلف

عدم تطابق فاز منجر به محو سیگنال‌ها حتی در یک پهنه‌ای باند کمی می‌شود. به عبارت دیگر در این حالت برآیند دو سیگنال مخرب بوده و آشکار کردن آن دیگر به راحتی امکان پذیر نیست. شکل ۱-۴ نشان می‌دهد که اگر جمع دو سیگنال از حد آستانه کمتر شود، پدیده محو شدگی روی می‌دهد.



شکل ۱-۴ اثر محو شدگی بر روی سیگنال کاربر ناشی از چندمسیرگی

☞ سرعت در ارسال داده

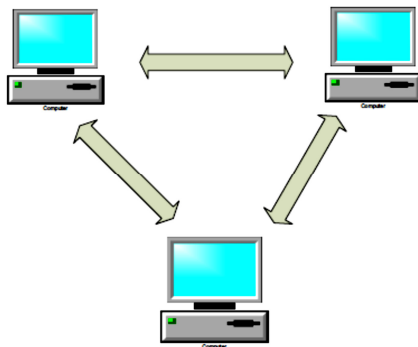
سرعت بالا در ارسال اطلاعات شاید در خور تحسین‌ترین منظر برای سازندگان و استفاده‌کنندگان وسایل تجاری باشد. این سرعت برابر  $100 \text{ Mbps}$  می‌باشد که در فواصل کم حتی قابلیت ارتقا نیز دارد. جدول ۲-۱ مقایسه‌ای بین سیستم‌های بی‌سیم داخلی را نشان می‌دهد.

جدول ۱—۲ مقایسه سرعت و ظرفیت کانال در سیستم های بی سیم داخلی

| System name  | Maximum data rate [Mbps] | Transmission distance [m] | Spatial capacity [kbps/m <sup>2</sup> ] | Spectral capacity [bps/Hz] |
|--------------|--------------------------|---------------------------|-----------------------------------------|----------------------------|
| UWB          | 100                      | 10                        | 318.3                                   | 0.013                      |
| IEEE 802.11a | 54                       | 50                        | 6.9                                     | 2.7                        |
| Bluetooth    | 1                        | 10                        | 3.2                                     | 0.012                      |
| IEEE 802.11b | 11                       | 100                       | 0.350                                   | 0.1317                     |

## [۴] WLAN ۲-۲-۱

شبکه محلی بی سیم یا WLAN به نوعی از شبکه محلی اطلاق می شود که در آن برای انتقال اطلاعات از یک نقطه به نقطه دیگر از امواج رادیویی استفاده می شود. مزیت مهم یک شبکه بی سیم آنست که نیاز به سیم کشی ندارد و درنتیجه کاربران می توانند در محدوده شبکه جابجا شوند. برای برپایی یک شبکه بی سیم دو نوع زیرساخت یا توپولوژی وجود دارد. یکی نقطه به نقطه و دیگری شالودهای که در شکل ۱-۵ نمایش داده شده اند.



شکل ۱-۵ توپولوژی نقطه به نقطه

تکنولوژی و صنعت WLAN به اوایل دهه ۸۰ میلادی بازمی گردد. مانند هر تکنولوژی دیگری، پیشرفت شبکه های محلی بی سیم به کندی صورت می پذیرفت. اولین شبکه محلی بی سیم در سال ۱۹۷۱ در دانشگاه هاوایی و تحت پروژه ای به نام "آلهانت" ثبت شده است. در سال ۱۹۸۰ گسترش شبکه های محلی بی سیم استاندارد شده بر عهده گروه کاری IEEE ۸۰۲.۱۱ قرار گرفت. در حال حاضر، مقصود از WLAN تمامی پروتکل ها و استانداردهای خانواده ای IEEE ۸۰۲.۱۱ است. در این شبکه ها، داده ها به وسیله حامل ها مدوله شده و در گیرنده استخراج می شوند. چندین حامل توسط فرستنده در یک فضا و با فرکانس های مختلف می توانند وجود داشته باشند. به منظور استخراج داده در این شبکه، گیرنده باید یا تیون

شده (تنظیم شده) یا یک فرکانس را انتخاب کرده و بقیه را فیلتر نماید. توجه کنید که کاربران براحتی قادر به اشتراک گذاری داده‌ها بدون جستجو برای مکانی جهت اتصال به شبکه می‌باشند. نرخ‌های انتقال داده برای سیستم‌های WLAN به طور نوعی از ۱ Mbps تا ۵۰ Mbps تغییر می‌کند. چندین نوع مختلف از سیستم‌های WLAN ۸۰۲.۱۱ وجود دارد که توسعه یافته‌اند. بعضی از این سیستم‌ها با سیستم‌های دیگر سازگار هستند. تفاوت‌های کلیدی در باندهای فرکانسی، نوع دسترسی بی‌سیم و ماکزیمم نرخ‌های انتقال داده است. ویژگی اصلی ۸۰۲.۱۱ به نرخ‌های انتقال داده ۱Mbps و ۲Mbps اشاره می‌کند و در فرکانس ۲/۴ GHz کار می‌کند. این استاندارد در طول مدولاسیون جدید رشد کرده تا ۸۰۲.۱۱b را تولید کند که کار در GHz ۲/۴ را فراهم می‌کند و نرخ انتقال داده ۱۱ Mbps را فراهم می‌کند. همچنین به منظور فراهم کردن نرخ‌های انتقال داده با سرعت بالا و فراهم کردن سازگاری با ۸۰۲.۱۱ و ۸۰۲.۱۱b سیستم‌های ۸۰۲.۱۱g توسعه یافتند که نرخ داده ۵۴ Mbps را در GHz ۲/۴ ایجاد می‌کنند.

### WiMAX ۳-۲-۱

بیش از یک قرن است که سیم مسی به عنوان تنها وسیله اتصالات عمومی مخابراتی به کار می‌رود اما با روی کار آمدن فناوری‌های بی‌سیم کم‌کم سیم مسی از تنها در می‌آید. فناوری‌های ارتباطی، گذشته از تمام ویژگی‌های محتوایی و پیام رسانی آنها، وابسته به واسطه‌های انتقال هستند. این واسطه‌ها که زیرساخت‌های ارتباطی را فراهم می‌کنند، استفاده از دیگر فناوری‌ها را ممکن ساخته و شرایط را برای انتقال پیام تسهیل می‌کنند. از طرفی یکی از اصلی‌ترین دغدغه‌های ارتباطات عمومی نیز وابستگی به محل و همچین واسطه‌های فیزیکی مانند کابل مسی است که فناوری در حال رشد امروز قصد از بین بردن این محدودیت را دارد. فناوری‌هایی مانند بلوتوث که امکان برقراری ارتباط موج متوسط در فاصله کوتاه را فراهم می‌کند. یا فناوری وای‌فای که امکان ارسال امواج و تبادل داده یا ایجاد شبکه‌های محلی بی‌سیم کوتاه برد را فراهم ساخته است. اما فناوری که می‌تواند ما را در ابعادی بیشتر از چند ده متر و در فضاهایی مانند سالن فروشگاه، منزل، دفتر کار و امثال آن به هم ارتباط دهد وای‌مکس نام دارد.

فناوری وای‌مکس یا ارتباط متقابل برای دسترسی جهانی مبتنی بر مایکروویو بستری برای ارایه خدمات در شهر و روستای الکترونیکی است. این فناوری که در لایه دسترسی قرار دارد دارای ساختار تقریباً ساده‌ای است. یعنی یک برج وای‌مکس که از نظر شکل و ابعاد مثل برج‌های مخابراتی است، نقش فرستنده را دارد و در طرف دیگر کاربران در حکم یک گیرنده هستند.

گیرنده می‌تواند یک رادیو، آنتن چندمتری روی بام یا یک چیپ آنتن دار داخل رایانه دستی باشد. دامنه تغییرات فرکانسی این فناوری از ۲ تا ۶۶ گیگاهرتز و پهنای باند آن به ازای هر فرستنده از ۱/۵ تا ۲۰ مگاهرتز است که نرخ تبادل داده آن را تا ۷۰ مگابیت بر ثانیه می‌رساند. البته این عدد برای مکان و شرایط مختلف متغیر بوده و قابلیت ارتقا برای فرستنده‌های قوی‌تر را نیز دارد. برد دامنه تحت پوشش این شبکه محدوده‌ای تا شعاع ۵۰ کیلومتر است، که می‌تواند یک شهر یا محدوده بزرگ را پوشش دهد. اما در نوع شبکه‌بندی‌های مختلف و به دلیل موقعیت ساختمان‌ها، در شهر از آنتن‌هایی با قدرت و شعاع فرستنده‌گی تا حدود ۸ کیلومتر استفاده و تبادل اطلاعات میان فرستنده و گیرنده به دو صورت دید مستقیم و دید غیر مستقیم انجام می‌شود.

در روش دید غیرمستقیم بین فرستنده و گیرنده خط مستقیمی نمی‌توان کشید و موائع فیزیکی در این میان وجود دارند، چیزی شبیه سیستم وای‌فای یا بی‌سیم خانگی. این روش سهولت کاربری بیشتری دارد اما نرخ تبادل داده آن کمتر است. این روش برای مناطق شهری مفید است چرا که ساختمان‌ها معمولاً مانع امواج هستند.

در روش دیگر یعنی دید مستقیم، برج فرستنده و دستگاه گیرنده در یک خط مستقیم قرار دارند، یا به اصطلاح یکدیگر را می‌بینند. در این روش یک آنتن با پایه بلند روی بام یا یک نقطه مرتفع قرار می‌گیرد و جهتش مستقیم به سمت آنتن فرستنده است و از طریق کابل امواج تبدیل شده را به داخل ساختمان هدایت می‌کند. ضریب خطا کمتر و قدرت تبادل داده بیشتر اصلی‌ترین مزیت آن است. این فناوری از سری استاندارد IEEE ۸۰۲.۱۶ استفاده کرده و برای امنیت انتقال داده از روش‌ها و استانداردهایی نظیر استاندارد رمزگذاری پیشرفته<sup>۱۹</sup> و استاندارد رمزگذاری داده<sup>۲۰</sup> استفاده می‌کند که از جمله مزایای آن می‌توان امنیت در برابر شنود و قابلیت مقابله با نفوذ را برشمرد.

زیرساخت وای‌مکس نیز می‌تواند شما را هم به اینترنت متصل کند، هم به شما امکان استفاده از تلفن بر پایه (VoIP) بدهد و هم شما را در شبکه‌های دیگر عضو کند و در کل، زیرساخت دسترسی شما به دنیای دیجیتال باشد. این سیستم دو ویژگی و مزیت مهم دارد:

<sup>۱۹</sup> Advances Encryption Standard

<sup>۲۰</sup> Data Encryption Standard

اول: برای پوشش یک منطقه شهری هزاران تن سیم مسی را در خاک دفن نمی‌کنیم و هر آنگاه نیازی به نبش قبر آنها وسط خیابان نیست و این یعنی مکان شما برای اتصال به شبکه، یک نقطه در انتهای سیم مسی نیست بلکه یک منطقه است در محدوده پوشش اپراتوری که مشترک آن هستید. یعنی شما می‌توانید از حساب کاری خود، هم در محل کار استفاده کنید هم در منزل و هم در محل شهر زادگاه خود و حتی در سفر، البته اگر اپراتور وای‌مکس شما در آن منطقه پوشش آتندهی داشته باشد.

دوم: خدمات قابل پیاده‌سازی وای‌مکس بیشتر از کابل مسی است و همچنین کاهش قیمت خدمات و افزایش کارایی فرد در یک شبکه ارتباطی نیز نسبت به فناوری سیم مسی چشمگیر است. از جمله این افزایش کارایی قابلیت ارایه پهنای باند تا ۳۰ مگابیت بر ثانیه است که این امکان در بهترین شبکه کابل مسی و با استفاده از تجهیزات گران قیمت تا ۸ مگابیت بالا می‌رود.